

Bioinformatic design and optimization of inhibitory peptides for Tropomyosin receptor kinase B in U266 cell line

M. Kafshdouzi Amin*

H. Rahimi**

N. Gheibi***

M. Karimipoor ****

*M.Sc. student of Medical Biotechnology, Faculty of Paramedical Sciences, Qazvin University of Medical Sciences, Qazvin, Iran

**Assistant Professor of Medical Biotechnology, School of Advanced Medical Sciences, Tabriz University of Medical Sciences, Tabriz, Iran

***Associate Professor of Biophysics, Cellular and Molecular Research Center, Qazvin University of Medical Sciences, Qazvin, Iran

****Assistant Professor of Biologic Products, Biotechnology Research Center, Pasteur Institute of Iran, Tehran, Iran

*Abstract

Background: Tropomyosin receptor kinase B (TRK B) is one of the oncogene agents.

Objective: The aim of this study was to design and optimize inhibitory peptides for TRK B in U266 cell line.

Methods: This study was conducted in Qazvin University of Medical Sciences during 2012. After generating the peptides library using sequence tolerance method and optimizing energy of peptides employing backrub protocol in Rosetta 3.3 software package, the most stable peptides were selected based on the energy scores in R package. Prediction of the three-dimensional structure of the peptides was performed using the molecular dynamic simulation. Peptides-TRK B docking was evaluated by HADDOCK web server. The most stable peptides were designed and their cytotoxicity effects on U266 cells were investigated by the MTT assay.

Findings: The designed peptides were stable in terms of energy and structure and had high affinity for binding to TRK B. For measuring cell survival during 24 hours treatment of U266 cell line with these peptides, the half maximal inhibitory concentration (IC50%) was obtained 350.2 and 199.5 nM for peptide one and two, respectively.

Conclusion: With regards to the results, it seems that TRK B inhibition can block cancer growth in this cell line.

Keywords: Brain-Derived Neurotrophic Factor, Tropomyosin Receptor Kinase B, Peptides, Oncogenes, Computer Simulation

Corresponding Address: Nematollah Gheibi, Cellular and Molecular Research Center, Qazvin University of Medical Sciences, Qazvin, Iran

Email: gheibi_n@yahoo.com

Tel: +98-281-3324971

Received: 9 Feb 2013

Accepted: 17 Jul 2013

طراحی بیوانفورماتیکی و بهینهسازی پیتیدهای مهارکننده گیرنده تروپومایوزین کیناز B در رده سلولی U266

دکتر مرتضی کریمی‌بور ****

دکتر حممت الله غبیب ***

دکتر حمزه رحیمی **

مرضیه کفشدوزی امین *

* دانشجوی کارشناسی ارشد زیست فناوری پزشکی دانشکده پیراپزشکی دانشگاه علوم پزشکی قزوین

** استادیار بیوتکنولوژی پزشکی دانشکده علوم نوین پزشکی دانشگاه علوم پزشکی تبریز

*** دانشیار بیوفیزیک مرکز تحقیقات سلولی و مولکولی دانشگاه علوم پزشکی قزوین

**** استادیار فراوردهای بیولوژیک مرکز تحقیقات بیوتکنولوژی انسیستتو پاستور ایران

آدرس نویسنده مسؤول: قزوین، دانشگاه علوم پزشکی قزوین، مرکز تحقیقات سلولی و مولکولی دانشگاه، تلفن ۰۲۸۱-۳۳۲۴۹۷۱

Email: gheibi_n@yahoo.com

تاریخ پذیرش: ۹۲/۴/۲۶

تاریخ دریافت: ۹۱/۱۱/۲۱

* چکیده

زمینه: گیرنده تروپومایوزین کیناز (Tropomyosin Receptor Kinase B, TRK B) یکی از پروتئین‌های سرطان‌زا است.

هدف: مطالعه به منظور طراحی و بهینهسازی پیتیدهای مناسب جهت مهار TRK B انجام شد.

مواد و روش‌ها: این مطالعه پایه در سال ۱۳۹۱ در دانشگاه علوم پزشکی قزوین انجام شد، پس از طراحی کتابخانه پیتیدی با روش tolerance sequence و بهینهسازی انرژی پیتیدهای طراحی شده با روش backrub در بسته نرمافزاری Rosetta 3.3، پیتیدهای دارای حداقل پایداری، براساس مقادیر backrub توسط نرمافزار R انتخاب شدند. ساختار سه بعدی پیتیدها با استفاده از روش دینامیک مولکولی تعیین و میزان اتصال این پیتیدها توسط نرمافزار HADDOCK بررسی شد. پایدارترین پیتیدها سنتز و اثر سمی آن‌ها با استفاده از آزمون MTT بر روی رده سلولی U266 مطالعه شد.

یافته‌ها: پیتیدهای طراحی شده از لحاظ انرژی و ساختاری کاملاً پایدار بودند و تمایل بالایی برای اتصال به TRK نشان دادند. پس از سنجش بقای سلول به کمک روش MTT ضمن تیمار رده سلولی U266 با این پیتیدها بعد از ۲۴ ساعت، غلظت مهار سلولی ۵۰ درصد (IC 50%) پیتیدهای یک و دو ۳۵۰/۲ و ۱۹۹/۵ نانومولار به دست آمد.

نتیجه‌گیری: با توجه به یافته‌ها، به نظر می‌رسد مهار TRK B می‌تواند به توقف رشد در این رده سلولی سرطانی منجر شود.

کلیدواژه‌ها: عامل نئوتروفیک مشتق شده مغزی، گیرنده تروپومایوزین کیناز B، پیتیدها، انکوژن‌ها، مدل‌سازی رایانه‌ای

* مقدمه:

عامل اتصال اختصاصی از خانواده نئوتروفین‌ها دارند. خانواده نئوتروفین‌ها در گسترش سیستم عصبی محیطی و مرکزی نقش مهمی دارند و آشیارهای بقا، تمايز، توقف رشد و مرگ برنامه‌ریزی شده سلول‌ها را ایجاد می‌کنند.^(۱) تحقیق‌ها نشان داده‌اند که اتصال عامل نئوتروفیک مشتق شده مغزی (BDNF) به TRK B در تمايز، تکثیر، تهاجم، رگ زایی و پاسخ شیمی درمانی در سرطان‌های نوروبلاستوما، ریه، پروستات، پانکراس و تحمدان اثر

سرطان به عنوان یکی از کشنده‌ترین بیماری‌ها و دومین عامل مرگ و میر در سال ۲۰۱۱ بیان شده است.^(۲) تاکنون روش‌های مختلفی از جمله جراحی، رادیو درمانی، شیمی درمانی، مونوکلونال آنتی بادی و پیتید درمانی برای درمان سرطان به کار رفته است.^(۳)

گیرنده تروپومایوزین کیناز (TRK B) به عنوان یکی از پروتئین‌های سرطان‌زا شناخته شده و شامل TRK A، TRK C و TRK B است. هر کدام از این گیرنده‌ها

محاسبه شد.^(۱۰) انتخاب بهترین پیتیدها براساس مقدار انرژی محاسبه شده و تحلیل مقادیر انرژی در برنامه R انجام شد. ساختار سه بعدی پایدارترین پیتیدها با استفاده از نرم‌افزار ۷ Hypercube (شرکت Hyperchem) پیشگویی شد. در این نرم‌افزار ساختارهای حاصل با استفاده از روش دینامیک مولکولی از لحاظ انرژی بهینه شدند تا بهترین ساختار ممکن برای هر توالی به دست آید.^(۱۱) برای یافتن پیتیدی با بهترین تمایل به B TRK به وسیله نرم‌افزار HADDOCK (High Ambiguity Docking) میزان اتصال Driven protein-protein Docking) پیتیدها به گیرنده تعیین شد که امتیازبندی آن براساس MTT است.^(۱۲) براساس میزان تمایل به گیرنده، دو عدد از بهترین پیتیدها به شرکت TAG Copenhagen (دانمارک) سفارش داده شدند که توالی آن‌ها شامل TGLDSDGLYQN (پیتید اول) و NTDLLNSNDNG (پیتید دوم) بود.

سپس برای ارزیابی اثر سمیت پیتیدهای طراحی شده بر روی رده سلول سرطانی U266، از آزمون MTT استفاده شد. بدین صورت که سلول‌ها در بازه‌های زمانی ۵۰۰، ۳۵۰، ۲۰۰، ۵۰ و ۴۸ ساعت با غلظت‌های ۷۲ و ۴۸ نانومولار هر کدام از پیتیدها، تیمار شدند. این غلظتها براساس مطالعه کازولا و همکاران تعیین^(۱۳) و داده‌ها با آزمون‌های آماری آنواز یکطرفه و تبعی توکی و پست هاک تحلیل شدند.

* یافته‌ها:

پنج عدد از بهترین پیتیدهای حاصل دارای کمترین میزان انرژی بودند که در بالای خط نقطه چین قرار گرفته‌اند. توالی پیتیدهای حاصل از طراحی بیوانفورماتیکی در شکل شماره ۱ نشان داده شده است. در این مطالعه اثر پیتیدهای شماره یک و دو در آزمایشگاه بررسی شد. ساختار سه بعدی پنج پیتید برتر در شکل شماره ۲ نشان داده شده است. پیتیدهای یک و دو (قسمت A و B

می‌گذارد.^(۱۴) بنابراین مهار کردن عامل نئوتروفیک مشتق شده مغزی به عنوان یک هدف درمانی برای مهار رشد تومورها و همچنین مهار رگ زایی در سلول‌های سرطانی شناخته شده است.^(۱۵)

یکی از عوامل مهاری گیرنده تروپومایوزین کیناز، توالی TKCNPMGYTKE پیتیدی سیکلوتراکسین با توالی است که در مطالعه انجام شده توسط محققین، باعث مهار B TRK در موش شده است.^(۱۶)

ناحیه انصالی با گیرنده TRK B در منطقه سوم از دمین دوم عامل نئوتروفیک مشتق شده مغزی یعنی توالی آمینو اسیدی ۵۶-۶۴ پروتئین است.^(۱۷) داروهای پیتیدی به دلیل داشتن مزایایی از جمله اندازه کوچک، قابلیت انباطاق برای اتصال با اهداف دارویی و توانایی اختلال در اتصال پروتئین-پروتئین مورد توجه محققین قرار گرفته‌اند.^(۱۸) بنابراین مطالعه حاضر با هدف بررسی و طراحی بیوانفورماتیکی پیتید مهار کننده TRK B انجام شد.

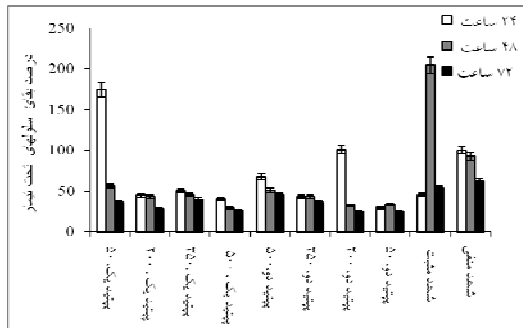
* مواد و روش‌ها:

این مطالعه پایه در سال ۱۳۹۱ در مرکز تحقیقات سلولی و مولکولی دانشگاه علوم پزشکی قزوین انجام شد. به صورت کلی مرحله به مرحله به ترتیب زیر صورت گرفت: ابتدا کتابخانه پیتیدی شامل دو بخش ساخت و ایجاد کانفورماسیون‌های انعطاف‌پذیر اسکلت پیتیدی (ensemble generation) و همچنین بررسی موتاسیون‌های متناسب با کانفورماسیون اسکلت پیتید اولیه انجام شد. اسکلت‌های انعطاف‌پذیر پیتیدی با استفاده از روش backrub و sequence tolerance ایجاد و انرژی آن‌ها با استفاده از محاسبات مونت کارلو (Monte Carlo) بهینه شد. این الگوریتم در مجموعه نرم‌افزاری Rosetta 3.3 تنظیم و طراحی شد.^(۱۹) مرحله بعد شامل ایجاد موتاسیون‌های مختلف بود که با استفاده از الگوریتم ژنتیک انجام شد. سپس مقدار انرژی برای هر موتانت با استفاده از ماتریکس تعیین موقعیت و رابطه ولترزمن Position weight matrix (PWM)

۱۹۸ نانو مولار و پپتید سیکلوتراکسین (شاهد مشبت) نانو مولار به دست آمد (جدول شماره ۱).

ساختار مارپیچ (هلیکس)، داشتند.

نمونه ۱- میزان مرگ سلوی بعد از اثر پیتید یک و دو در غلظت‌های ۵۰، ۲۰۰، ۳۵۰ و ۵۰۰ نانو مولار



جدول ۱- مقایسه مقدار IC50% نانومولار پیتید یک، دو و سیکلوتراکسین به عنوان شاهد مشت

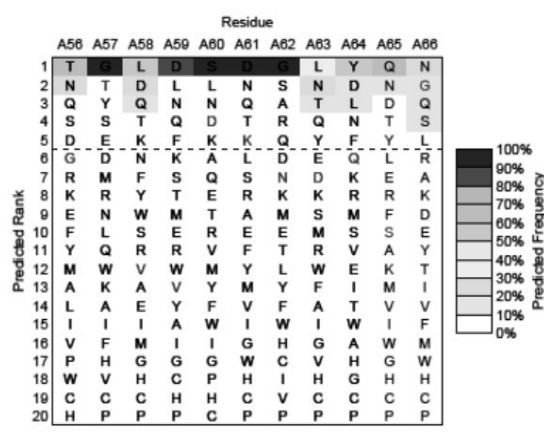
ساعت ۷۲	ساعت ۴۸	ساعت ۲۴	زمان تیمار پیتید
۱۹۹	۱۹۹/۶	۳۵۰/۲	پیتید بک TGLDSDGLYQNL
۱۹۸/۳	۱۹۸	۱۹۹/۵	پیتید دو NTDLLNSNDNG
۲۰۰	۲۰۰	۲۰۰	پیتید سیکلوراکسین TKNPMGTYKE

* بحث و نتیجہ گیری:

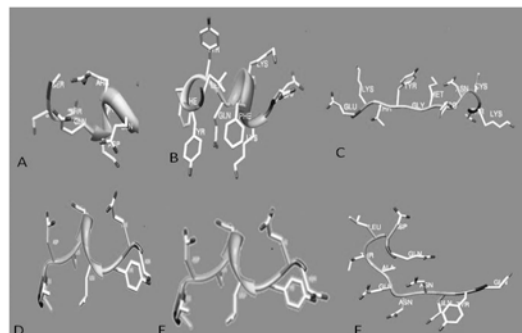
این مطالعه نشان داد که پیتیدهای طراحی شده در غلظت‌های ۵۰، ۲۰۰، ۳۵۰ و ۵۰۰ نانو مولار اثر مهاری مناسبی بر علیه گیرنده TRK و در نتیجه سلول‌های سرطانی U266 داشتند. TRK B به عنوان یک عامل مؤثر در بیماری زایی سرطان شناخته شده و نشان داده است که مهار آن باعث توقف رشد سلول‌های سرطانی می‌شود.^(۴) بنابراین با استفاده از روش‌های بیوانفورماتیکی، پیتیدهایی با تمایل بالا بر علیه این گیرنده طراحی شد.

در این مطالعه پیتیدهای طراحی شده با مهار TRKB باعث مهار رشد سلول‌های سرطانی شدند و تمایل خوبی برای اتصال به TRK داشتند. در مقایسه با ساختار

شکل ۱- پیتیدهای حاصل از مطالعه به ترتیب انرژی



شکل ۲- ساختار سه بعدی پنج عدد از پیتیدهای طراحی شده با بالاترین پایداری و پیتید سیکلوتراسین به عنوان شاهد مشتبه



تیمار سلول‌ها در بازه‌های زمانی‌های ۴۸، ۲۴ و ۷۲ ساعت با غلظت‌های ۵۰۰، ۳۵۰، ۲۰۰ و ۵۰ نانومولار هر کدام از پیتیدها، کاهش درصد بقای سلول‌ها را نسبت به گروه شاهد بدون تیمار نشان داد ($P < 0.001$). البته این معنی‌داری در غلظت‌های ۵۰ نانومولار پیتید یک و ۲۰۰ نانومولار پیتید دو در بازه زمانی ۲۴ ساعت مشاهده نشد (نمودار شماره ۱).

بررسی پیتیدهای طراحی شده بر روی رده سلولی U266 نشان داد که این پیتیدها باعث مهار TRK شده‌اند. در صد IC₅₀ پیتید یک ۱۹۹/۶ نانو مولار، پیتید دو

* سپاس‌گزاری:

از شورای پژوهشی دانشگاه علوم پزشکی قزوین
جهت حمایت مالی از پایان نامه کارشناسی ارشد این
دانشگاه و همکاری انسستیتو پاستور ایران قدردانی می‌شود.

* مراجع:

1. Siegel R, Ward E, Brawley O, Jemal A. Cancer statistics, 2011: The impact of eliminating socioeconomic and racial disparities on premature cancer deaths. CA Cancer J Clin 2011 Jul-Aug; 61 (4): 212-36
2. Stewart BW, Kleihues P. World cancer report: Lyon, France: IARC press; 2003. 215-22
3. Antosova Z, Mackova M, Kral V, Macek T. Therapeutic application of peptides and proteins: parenteral forever? Trends Biotechnol 2009 Nov; 27 (11): 628-35
4. Thiele CJ, Li Z, McKee AE. On TrkB-the TrkB signal transduction pathway is an increasingly important target in cancer biology. Clin Cancer Res 2009 Oct 1; 15 (19): 5962-7
5. Walch ET, Marchetti D. Role of neurotrophins and neurotrophins receptors in the in vitro invasion and heparanase production of human prostate cancer cells. Clin Exp Metastasis 1999 Jun; 17 (4): 307-14
6. Yu X, Liu L, Cai B, He Y, Wan X. Suppression of anoikis by the neurotrophic receptor TrkB in human ovarian cancer. Cancer Sci 2008 Mar; 99 (3): 543-52
7. Zhang L, Hu Y, Sun Cy, et al. Lentiviral shRNA silencing of BDNF inhibits in vivo multiple myeloma growth and angiogenesis via down-regulated stroma-derived VEGF expression in the bone marrow milieu. Cancer Sci 2010 May; 101 (5): 1117-24

سیکلوتراکسین که به صورت بسته بود، انتهای توالی پتید A یک هلیکس داشت و در دو انتهای پتید به هم نزدیک می‌شد، پتید B تمایل به تشکیل یک هلیکس ساختاری بزرگ داشت، ولی جهت هلیکس‌های تشکیل شده عکس هم دیگر بودند. پتیدهای C و D در ناحیه وسط به صورت هلیکس بودند و ساختار کلی آن‌ها بیشتر شبیه به ساختار سیکلوتراکسین بود. در پتید E هیچ ساختار دومی مشاهده نشد.

در این مطالعه پتیدهای طراحی شده مانند سایر ترکیب‌های مهارکننده مطالعه شده بر روی TRKB^(۱۴)، کاهش درصد بقای سلول‌ها نسبت به گروه شاهد بدون تیمار را نشان دادند و این کاهش در هر دوز غلظت وابسته به زمان بود و با افزایش زمان تیمار، میزان بقای سلول سرطانی کاهش می‌یافتد. از طرفی برای هر تیمار پتید یک کاهش بقا وابسته به غلظت مشاهده شد.

لو ژانگ نشان داد که مهار TRKB با استفاده از Sh RNA با توالی نوکلئوتیدی مشخص به عنوان مهارکننده بر روی رده سلولی U266 مولتیپل مایلوما باعث مرگ می‌شود.^(۱۵) در مطالعه تاپلی و همکاران، K252a به عنوان مهارکننده TRKB طراحی و با غلظت ۵۰ درصد مهار ۱۰ تا ۳۰ نانومولار، باعث مهار گیرنده TRKB شد.^(۱۶) در مطالعه کامارتون و همکاران نیز CEP-751 به عنوان یک بازدارنده گیرنده TRKB در غلظت ۱۰۰ نانومولار به عنوان یک عامل ضد تومور بر علیه سلول NIH3T3 باعث عدم رشد تومور سلول‌های موش شد.^(۱۷)

در مطالعه‌های قبلی نشان داده شد که سیکلوتراکسین بعد از ۲۴ ساعت اثرگذار است.^(۱۸) پتیدهای طراحی شده در این مطالعه در زمان مشابه اثر بهتری نسبت به سیکلوتراکسین از خود نشان دادند.

با توجه به نتایج حاصل در این مطالعه، به نظر می‌رسد این روش می‌تواند برای طراحی پتیدهای مهارکننده استفاده شود.

8. Cazorla M, Jouvenceau A, Rose C, et al. Cyclotraxin-B, the first highly potent and selective TRk B inhibitor, has anxiolytic properties in mice. *PLoS One* 2010 Mar 19; 5 (3): e9777
9. Iyer R, Evans AE, Qi X, et al. Lestaurtinib enhances the antitumor efficacy of chemotherapy in murine xenograft models of neuroblastoma. *Clin Cancer Res* 2010 Mar 1; 16 (5): 1478-85
10. Leaver-Fay A, Tyka M, Lewis SM, et al. ROSETTA3: An object-oriented software suite for the simulation and design of macromolecules. *Methods Enzymol* 2011; 487: 545-74
11. Smith CA, Kortemme T. Backrub-like backbone simulation recapitulates natural protein conformational variability and improves mutant side-chain prediction. *J Mol Biol* 2008 Jul 18; 380 (4): 742-56
12. Froimowitz M. HyperChem: A software package for computational chemistry and molecular modeling. *Biotechniques* 1993 Jun; 14 (6): 1010-3
13. De Vries SJ, van Dijk M, Bonvin AM. The HADDOCK web server for data-driven biomolecular docking. *Nat Protoc* 2010 May; 5 (5): 883-97
14. Tapley P, Lamballe F, Barbacid M. K252a is a selective inhibitor of the tyrosine protein kinase activity of the TRK family of oncogenes and neurotrophin receptors. *Oncogene* 1992 Feb; 7 (2): 371-81
15. Strock CJ, Park JI, Rosen M, et al. CEP-701 and CEP-751 inhibit constitutively activated RET tyrosine kinase activity and block medullary thyroid carcinoma cell growth. *Cancer Res* 2003 Sep 1; 63 (17): 5559-63